

자외선 처리된 Epoxy/Glass Fiber의 표면 열화특성에 관한 연구

論 文

48C - 2 - 4

A Study on the Surface Degradation Properties of Epoxy / Glass fiber Treated with Ultraviolet Rays

李 白 淚*

(Beak-Su Lee · Duck-Chool Lee)

Abstract - In order to analyse the degradation process of epoxy/glass fiber for outdoor condition, FRP laminate was exposed to the wavelength of ultraviolet rays and evaluated by comparing contact angle, surface resistivity, surface potential decay, and ESCA spectrum respectively. As irradiation energy are increased, the surface properties were steeply decreased in the range of 300[nm]. But the measured values within the scope of 400[nm]~440[nm] showed a increase as compared with the untreated ones. Also, from the result of ESCA spectrum, it was confirmed plenty of oxygen groups on the spot showing the maximum decrease of surface properties and the existence of ether groups on the surface of coloring phase. We can conclude that the degradation phenomena on the surface of epoxy composites are dominated by the induction of ester and carboxyl groups.

Key Words : FRP, Ultraviolet rays, Contact angle, Surface potential decay, ESCA

1. 서 론

유리섬유 강화 복합재료(FRP: fiber reinforced plastics)는 전기적, 화학적으로 우수한 특성을 갖는 유기재료에 기계적 강도를 보강하기 위해 유리섬유를 복합시킨 hybrid재료로서, 높은 전기 절연성능과 광범위하게 변화할 수 있는 기계적 특성 및 화학적 안정성 때문에 전기·전자부품, 전력·통신 케이블 및 전자 device 등 각종 전기 절연분야에서 폭넓게 사용되고 있다. 개발 초기에는 절연특성의 경년 열화 및 기계적 특성의 신뢰성 문제로 인하여 상용화에 실패하였으나, 계속적인 고분자 화학의 발전에 힘입어 현재에는 선진국들을 중심으로 배전용 애자, 부싱, PCB기판 및 항공, 우주 산업에 이르기까지 그 용용 분야를 급격하게 확대하고 있다 [1,2,3].

그러나 FRP를 전기절연재료로서 옥외환경에 사용하는 경우, 태양의 복사열, 자외선, 방전, 습기 및 온도의 극한적 변화, 염분, 오염물의 부착 등의 다양한 물리·화학적 열화요인에 노출된다. 이러한 외적 요인으로 발생되는 열화는 복합재료 구성성분 중, 주로 유기고분자 재료의 표면 및 인위적으로 복합화된 계면의 특성 변화가 지배적인 인자로 되고 있다. 이것이 복합재료의 사용에서 장기적으로 요구되는 전기적·기계적 성능 저하에 중대한 영향을 미쳐, 최종적으로 절연파괴를 야기하게 된다. 하지만, 고분자 복합재료의 성능

과 수명에 미치는 열화요인에 대해서는 아직도 연구가 미흡한 실정이다. 특히 고분자의 종류에 따라, 실내환경에서 발생되는 열화 메커니즘은 각각 다르게 진행되며, 에폭시/유리섬유의 복합체인 FRP의 각종 환경에서의 경시적 특성저하에 대한 보고는 매년 급속히 늘고 있는 FRP의 사용량에 비해 상당히 부족한 상태이다[4]. 따라서, 각종 열화요인으로부터 발생되는 복합재료의 특성변화를 기존의 방법 외에, 접근 가능한 다양한 기기를 이용한 구체적인 해석이 요구되고 있으며, 이는 제품의 수명 예측과 개선 방향 및 장기적 신뢰도 향상에 직결될 것으로 생각된다.

본 연구에서는 FRP의 특성변화에 영향을 주는 열화요인들 중 자외선 노출에 따른 열화 특성을 규명하기 위하여, 실제 고분자 절연재료로 사용되고 있는 FRP 복합재료를 일정시간 자외선 광장별 처리를 통해 가속 열화시켜 표면에서 발생되는 화학적 변화 및 이에 수반되는 전기적 특성변화를 중심으로 비교 분석하였다.

2. 실 험

2.1 처리시편의 제작

본 실험에서 사용한 시편은 프레스 성형법으로 제작된 글라스크로스 적층판으로서 에폭시 수지에 글라스 화이버를 이축 방향으로 직조하여 배열시킨 것이다. 글라스 화이버의 직경은 $10[\mu\text{m}]$ 이고, 함유량은 체적비로 52[%]의 시료를 사용하였으며, 실험에 사용된 FRP의 사양을 표1에 나타냈다. 시료의 처리에 따른 특성변화를 관찰하기 위하여 섬유방향에 대해 45° , 두께 $1.5[\text{mm}]$ 로 절단한 후 절단면을 연마하였으며(예비연마:20분, $9[\mu\text{m}]:20$ 분, $3[\mu\text{m}]:20$ 분, $1[\mu\text{m}]:20$ 분,

* 正會員 : 仁荷大 工大 電氣工學科 博士課程

** 正會員 : 仁荷大 工大 電氣工學科 教授 · 工博

接受日字 : 1998年 8月 14日

最終完了 : 1998年 12月 19日

MA-200 Automatic Lapping and Polishing Machine, Musashino Denshi), 연마제 및 접착제 성분 등의 불순물을 제거하기 위하여 에탄올 용액 속에서 30분 초음파 세척 후, 진공오븐(SVO-300 Vacuum Oven, Shimadzu) 속에서 50[°C]의 온도 하에 40시간 건조 처리하여, 최종적으로 1[mm]두께의 FRP를 자외선처리 시료로 사용하였다.

표 1. 사용된 FRP적층판의 사양

Table 1. Specification of FRP laminate.

시료 사양	
FRP 구성	글라스크로스 적층판
성형법	프레스성형법
글라스표면처리	에폭시실란
비중	1.9
글라스함유율 (중량비)	69%
글라스함유율 (체적비)	52%
제조회사	(주)아리사와[日本]

2.2 처리 및 측정

자외선조사에 의한 시료의 가속열화는 태양광과 유사한 분광 분포를 갖는 크세논 아크등이 내장된 분광 자외선 조사장치(分光老化試験機 SPW-6, スガ試験機株式會社)를 이용하였다. 이때 조사되는 자외선의 파장 범위는 250[nm]에서 550[nm]이고, 각 파장 영역별 광의 조사에너지는 그림1과 같다. 자외선처리는 상압 및 상온의 일반 대기 중에서 각각 진행되었다. 처리시간은 50시간으로 동일하게 유지하며, 300~400[nm]의 파장 영역에서 방사조도[W/m²]를 처리#1(1slit, 30[A], 1.1[W/m²]), 처리#2(2slit, 30[A], 1.4[W/m²]), 처리#3(2slit, 40[A], 2.1[W/m²]), 처리#4(4slit, 40[A], 2.7[W/m²])로 변화시키며 조사에너지에 따른 FRP표면의 특성 변화를 측정하였다.

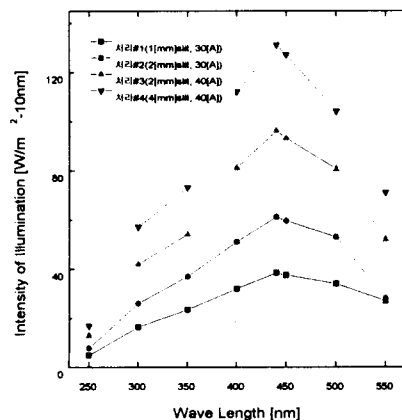


그림 1. 자외선 조사장치의 분광 분포 곡선

Fig. 1 Distribution curve of UV irradiation apparatus.

시료표면의 젖음성 측정은 표면과 물방울 사이에 형성되는 접촉각으로 결정되는데, FRP의 경시적 표면 활성화도는 20[°C]의 실온에서 Contact Angle Meter(Face Co.)를 통해 조사되었다. 용액은 탈이온 중류수 6[μl]를 sessile drop 형태로 시료표면에 하적하여 표면과 물방울 계면이 확대되어 나타난 모니터를 통해 접촉각을 측정하고, 이를 7~8회 연속 측정하여 그 평균값으로 나타내었다.

표면의 전기적 특성변화를 알아보기 위하여, 그림2에 나타낸 것과 같이 자체 제작된 코로나 대전장치를 이용하여 시료표면을 대전시킨 후, 전하의 경시적 변화를 측정하였다. 이 때에 가해진 코로나 대전전압 10[kV], 그리드전압 1[kV], 대전시간 2분, 코로나 전극과 시료표면의 거리는 5[cm], 그리드전극과 시료표면의 거리 1[cm]로 유지하며, 정(+)·부(−)극성 전하주입으로 수행하였다. 대전종료 후, 탐침(probe)과 시료표면 거리를 2[mm]로 유지하면서 표면전위가 초기치의 1/2에 이를 때까지 감쇠거동을 측정하였다.

또한 표면 누설전류를 통한 저항률을 측정하기 위하여 시료의 크기에 적합한 원형의 마스크를 제작하여 알루미늄으로 진공 증착하고 실버페스트로 리드선을 접속하여 3단자 전극을 형성하였다. 준비된 시료를 항온조에 설치하고 487 Picoammeter(Keithley Co.)를 이용하여 대향전극간에 100[V]의 직류전압을 인가하여 처리로 발생된 표면의 저항률 변화를 측정하였다.

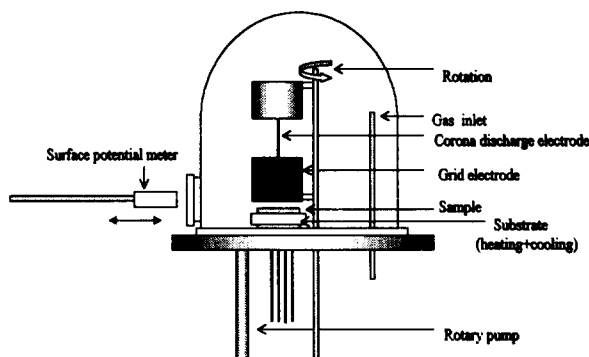


그림 2. 코로나 대전장치의 개략도

Fig. 2 Schematic diagram on Corona discharge apparatus.

자외선처리로 열화된 표면의 화학적 변화를 분석하기 위하여 X-선광전자분광법(XPS, ESCA PHI 5600 Multi-Technique system, ULVAC-PHI, Inc.)을 이용하였다. X선 source로는 Mg-K_α(1253.6[eV])선을 이용하고, X선 출력은 400[W](15kV-27mA), 진공도는 10⁻¹⁰[Torr] 이하에서 자외선 처리된 시료의 조사를 수행하였다. 시료가 고분자 철연체인 관계로 측정 시 표면이 정(+)전하로 대전되어 약 4[eV] 정도의 binding energy의 상승 피크가 발생되었다. 이를 탄소 1s의 C1s피크 관측으로 에너지 scale을 보정하였다.

3. 결과 및 고찰

3.1 접촉각 변화

각각의 조사에너지 하에서 50시간 씩 처리된 FRP의 자외

선 파장별 접촉각 변화를 그림3에 나타낸다. 미처리된 시료의 초기 접촉각은 74° 정도를 나타내지만, 자외선처리에 따른 파장별 접촉각의 변화는 300[nm] 대에서 급격한 감소를 보이며 파장에 따른 뚜렷한 차이를 나타냈다. 또한, 처리#1에서 325[nm]의 파장에서 최저의 접촉각을 나타내던 처리시료가 조사에너지의 증가에 따라 최대 접촉각 변화의 추이가 서서히 단파장 영역으로 이동하여 처리#4에서는 275[nm]에서 가장 큰 변화를 보였다(표2). 특히, 400[nm] 이상의 파장에서 처리된 표면의 접촉각은 오히려 전전시료의 접촉각보다도 약간 상승하는 결과를 얻을 수 있었다.

표 2. 방사 조도에 따른 최대 접촉각 변화 추이

Table 2. The maximum change of contact angle on the intensity of illumination.

미 처리	처리#1	처리#2	처리#3	처리#4
74 ± 1.625	39.4 ± 2.558	28.9 ± 4.246	16.1 ± 1.358	13.8 ± 2.058
	325[nm]	300[nm]	300[nm]	275[nm]

이는 각 파장 및 에너지에 따른 자외선 조사로 인해 단파장(250~350[nm])과 장파장(400[nm] 이상) 대에 노출된 시료가 각기 다른 형태로의 표면변화가 수반되었음을 의미한다. 즉, 350[nm] 이하의 단파장 광에너지는 3차원 망목상 구조를 갖는 에폭시 표면의 C-C 및 C-H결합쇄를 분해시키며 다량의 라디칼을 집중적으로 생성시킨다[9]. 일반적으로, 300[nm]의 영역의 광에너지는 $95.5[\text{kcal/mol}]$ 에 상당하며, 이 값은 탄소 및 수소 결합에너지 보다 큰 것으로 탄화수소 결합이 주류를 이루고 있는 고분자 표면의 화학적 결합을 용이하게 분해시킨다. 이로 인하여 비활성 상태의 안정된 표면이 전자여기상태로 되고 높은 반응성을 갖는 극성표면으로 변화되어 접촉각이 낮게 나타난 것으로 생각된다[5]. 400[nm] 이상의 가시광선 영역에서는 전반적으로 미처리 시료의 접촉각과 비교하여 큰 차이는 없지만, 400[nm]~450[nm] 영역의 특이한 접촉각 상승은 파장이 길어짐에 따라 광 에너지가 낮아지고 이에 따라 결합쇄의 분해보다는 오히려 미반응 물질의 채가교를 촉진시켜 소수적 특성이 증가한 것으로 추정된다[6].

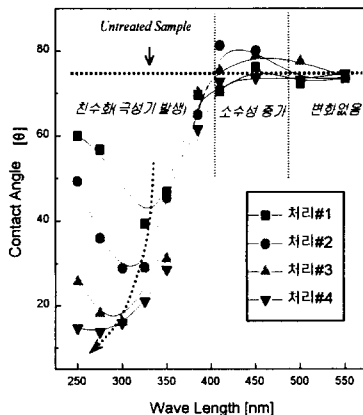


그림 3. 자외선 파장에 따른 FRP의 접촉각 특성

Fig. 3 Contact angle on the wavelength of UV-treated FRP.

또한 방사조도가 증가함에 따라 접촉각 변화를 최대로 발생하는 파장 영역이 단파장 쪽으로 이동하였고, 이는 표면열화를 발생하는 자외선의 영향이 단순히 자외선 파장에만 의존하는 것이 아니라, 방사조도를 매개변수로 하여 복합적으로 작용하는 것으로 생각된다.

3.2 표면전위 감쇠특성

자외선 처리 파장에 따른 접촉각 변화와 함께 표면의 정전(electrostatic)특성을 분석하기 위해, 시료를 코로나 대전장치에 설정하고 대전전압(V_c) 10[kV], 그리드 전압(V_g) 1[kV] 및 대전시간(t_c) 2분의 일정한 실험조건으로 코로나 대전시킨 시료의 표면전위감쇠 특성을 그림4, 5에 나타낸다. 전위감쇠 조사시료는 접촉각 변화가 가장 크게 발생한 처리#3 및 처리#4 시료를 대상으로 하였다. 미처리된 시료의 정(+)극성 및 부(-)극성 대전에 대한 초기 대전값은 그리드 대전전압에 가까운 $960[V] \sim 970[V]$ 정도의 값을 나타내며 서서히 감소하지만, 350[nm] 이하의 파장에서 열화된 처리#4 시료의 표면전위는 대전 종료 후 3분 이내에 초기대전값의 1/2로 급격하게 감쇠하는 경향을 나타내었다. 이러한 전위감쇠 특성은 FRP 표면이 자외선 처리로 인하여 표면 절연 능력이 크게 상실되었음을 의미한다. 400[nm] 이상의 파장 영역에 노출된 시료의 표면 전위감쇠는 대체로 미처리 시료의 대전값과 비교하여 큰 차이를 발생하지 않았으며, 350[nm] 이하에서 처리된 시료의 표면전위감쇠와 뚜렷하게 구별되는 전하감쇠 거동을 나타내었다. 또한 처리#3 시료의 값보다 처리#4 시료의 전위감쇠가 훨씬 크게 발생함을 알 수 있다. 이러한 일련의 특성변화는 강력한 에너지를 갖는 자외선에 의해 가교결합에 참여하고 있던 극성기들의 결합이 분해되어 안정된 구조를 갖던 비활성 표면이 반응성이 강한 활성표면으로 변화된 결과이다. 이렇게 여겨진 표면성분은 산소와 채결합을 일으켜 라디칼 및 산소기를 다량 포함하는 극성표면으로 변화된다. 이로 인해 표면에 인위적으로 주입된 코로나 전하의 유동 및 극성기와의 결합이 용이해지고 시간경과에 따른 전하감쇠가 활성정도에 비례하여 급격하게 발생되는 것이다. 또한 정(+)코로나 및 부(-)코로나의 극성 변화에 따른 전하감쇠에 대한 조사에서는 정

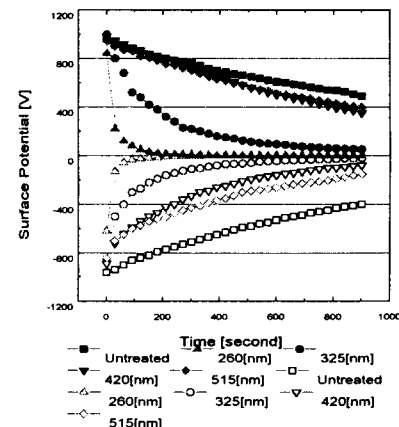


그림 4. 자외선 파장에 따른 FRP의 표면전위 감쇠특성(처리#4)

Fig. 4 Surface potential decay on the wavelength of UV-treated FRP (no.4).

(+)전하의 감쇠보다 부(-)전하의 감쇠가 크게 나타남을 알 수 있다. 이는 시료표면이 자외선 처리로 인해 산소기를 포함하는 고에너지의 활성표면으로 변화된 후, 시료 내부와의 에너지 차에 의해 저에너지 성분과의 반전이 이루어지며 내부로의 산소 침투가 발생한 결과로서, 표면의 수 원자층 내로 산소기가 위치하고 대기와 접하는 극표면에는 반전된 저에너지 표면이 형성된 결과로 생각된다.

따라서 처리 전 탄화수소가 주류를 이루던 고분자 표면이 자외선 파장 및 조사에너지로 인하여 표면내부(2~3 layer)로는 산소기를 갖는 부극성, 극표면에는 상대적으로 정극성이 나타남으로 인해 정(+)코로나 감쇠보다 부(-)코로나 감쇠 정도가 크게 나타난 것으로 생각된다[7,8].

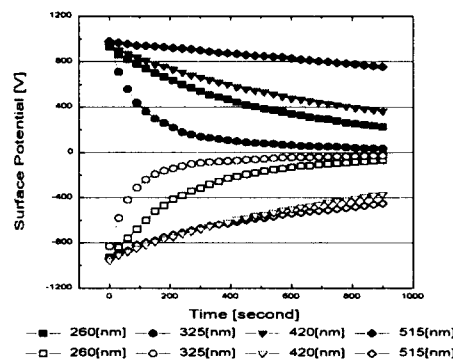


그림 5. 자외선 파장에 따른 FRP의 표면전위 감쇠특성(처리#3)
Fig. 5 Surface potential decay on the wavelength of UV-treated FRP(no.3).

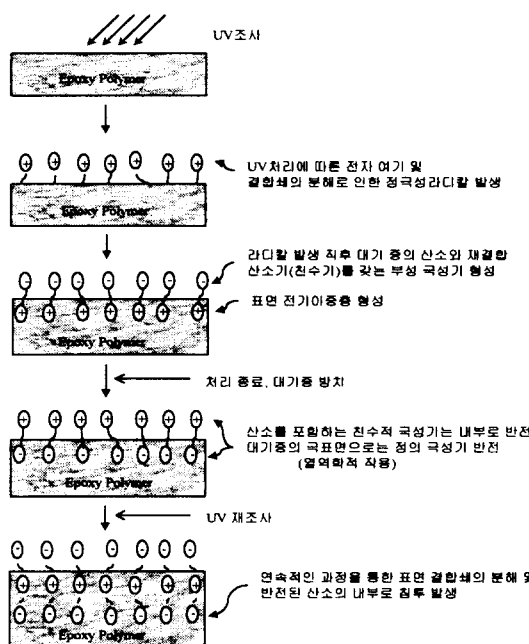


그림 6. UV 처리된 애폴시 표면의 열화 과정에 대한 모델링
Fig. 6 Modeling on the surface degradation process of UV-treated Epoxy.

또한, 위와 같은 가정으로부터 자외선 조사된 애폴시 표면의 열화 과정을 모델링한 결과를 그림 6에 나타냈다. 초기 자외선 처리된 표면이 분해되어 다양한 라디칼을 생성하고 대

기중의 높은 결합력을 갖는 산소와 재결합을 통해 친수적 부극성 표면으로 변화된다[8,9,10]. 처리 직 후, 접촉각을 측정했을 시는 상당히 낮은 값을 나타내지만, 오랜시간 대기중에 방치함에 따라 서서히 접촉각이 다시 증가하는 현상을 볼 수 있었다. 이는 표면 산소기의 영향을 받는 하부의 저에너지 성분이 열역학적 작용에 의해 극표면에 존재하는 산소기와 반전을 일으킨 결과이다[11].

이후 자외선 재조사에 의한 반복적인 과정을 통하여 표면 결합쇄가 분해되며 기중 산소와의 결합이 재차 발생하고 내부 산소는 하부의 저에너지 성분과 연속적인 반전을 일으키며 내부로의 침투를 발생하며 자외선 열화가 진행되는 것으로 생각된다. 즉, 자외선 처리된 FRP 표면의 열화 메커니즘은 열역학적 작용과 정전력(electrostatic force)의 복합적인 과정을 통하여 산화가 진행된 결과로 생각된다.

3.3 표면저항률

접촉각 변화를 통해 표면 활성화 정도를 측정하고 전위감쇠를 통해 표면에 어떠한 극성의 활성종이 도입되었는가를 조사한 후, 처리시료의 크기에 적합한 원형의 3단자 전극을 진공 증착하여 표면누설전류를 측정하였다. 전압은 직류 100[V]를 인가하여 1분 경과 후, 측정된 전류값으로부터 표면저항률을 계산하였다. 크기가 한정된 시료에 원형전극이 적용된 관계로 각각의 파장에 따른 누설전류의 변화를 측정하는 것은 곤란하였다. 따라서 일정 폭의 자외선 처리부로 나누어 파장영역에 따른 평균 누설 전류치로 저항률을 산출하였다. 그림7은 처리#2, 처리#4의 자외선 처리에 따른 표면저항률을 나타낸 것이다. 처리 전 $3.2 \times 10^{15} [\Omega/\text{square}]$ 의 표면저항률을 보이던 시료가 조사에너지 및 자외선 파장에 따른 변화로 인하여 처리#2에서는 $1.252 \times 10^{14} [\Omega/\text{square}]$, 처리#4에서는 $1.6652 \times 10^{12} [\Omega/\text{square}]$ 의 최대변화를 나타내었다. 이러한 현상은 접촉각 변화와 일치하는 것으로, 자외선 파장에 따른 처리로 인하여 탄화수소의 표면화학구조에 변화가 발생하고 초기의 소수적 절연특성을 나타내던 시료의 표면특성이 크게 저하되었음을 알 수 있다.

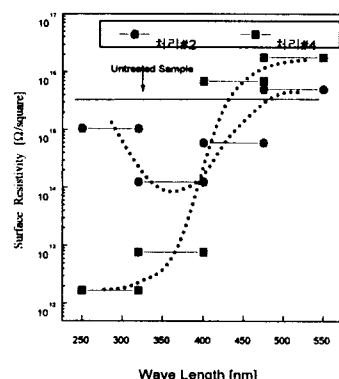


그림 7. 자외선 파장에 따른 FRP의 표면저항률 변화
Fig. 7 Surface resistivity on the wavelength of UV-treated FRP.

3.5 ESCA 분석

이상과 같이 자외선 파장처리에 따른 표면에너지 변화 및

표면의 전기적 특성을 측정하여 처리파장에 의해 표면에 발생되는 다양한 변화를 관찰하였다. 이러한 변화는 기본적으로 표면 화학구조의 변화로 인해 야기된 결과로서, 처리된 시료 극표면의 화학구조를 조사하는 것이 자외선 열화로 인해 발생된 표면변화에 대한 근본 메커니즘을 분석하는 가장 중요한 요소라 할 수 있다. 접촉각, 표면전위감쇠 및 표면저항 측정을 통해 예측한 극성기 및 산화형태의 구체적인 확인을 위하여 ESCA 분석을 수행하였다.

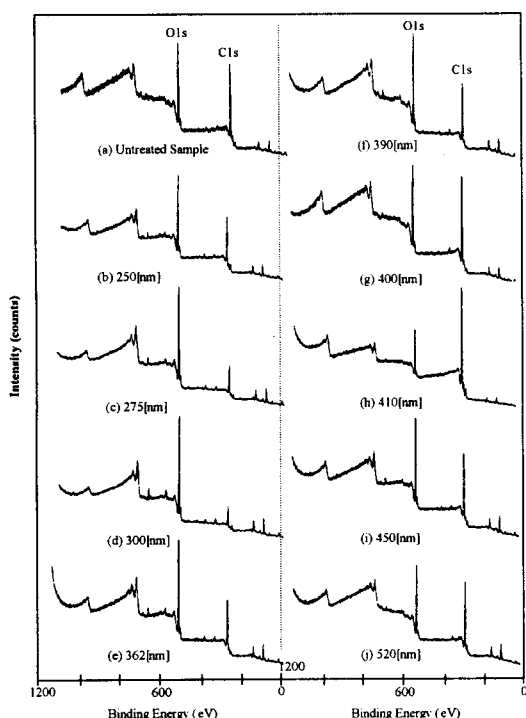


그림 8. 자외선 파장처리된 FRP의 C1s 및 O1s의 변화
Fig. 8 The change of C1s and O1s on the UV-treated FRP.

그림 8과 9는 가장 변화가 큰 처리#4 시료의 파장 처리에 따른 FRP 표면의 성분피크 및 결합에너지 변화를 측정한 결과이다. ESCA 스펙트럼은 산소 1s(O1s)와 탄소 1s(C1s)의 광이온화(photoionization)로부터 각각 531.0[eV]와 284.5[eV]에서 피크를 나타낸다. 그림 8에서 비교되는 바와 같이, survey mode로 측정한 산소와 탄소의 피크변화가 자외선 파장에 따라 큰 차이를 나타내고 있음을 알 수 있다. 특히, 300[nm] 대에서 표면 탄소량이 급격히 줄어들고 산소량이 크게 증가하는 것으로 나타났다. 또한, 처리파장이 길어짐에 따라 피크변화가 서서히 줄어들지만, 400[nm]와 430[nm] 부근에서는 접촉각 및 표면저항률 증가에서도 확인한 바와 같이 표면 재가교로 인해 탄소대 산소의 비율이 350[nm] 이하의 스펙트럼과 상반되는 결과가 나타남을 알 수 있었다. 450[nm] 이상의 파장에서는 미처리 시료의 표면성분 피크와 차이를 보이지 않는 결과를 얻을 수 있었다.

그림 9는 survey mode로 측정한 피크 중, 284.5[eV]에서 나타나는 탄소피크를 multiflex mode로 측정한 후 auto-curve fitting한 결과이다. curve fitting 시 최소 오차값으로부터 5개의 내부피크를 얻을 수 있었다(표 3). 그림에서 보는 바와 같이, 미처리 시의 C-C 및 C-H가 주류를 이루던 표면이 각

각의 자외선 파장에너지로 인하여 다양한 변화를 보이고 있음을 알 수 있다. 접촉각이 가장 낮게 나타나는 영역에는 ④번 피크가 급격히 증가한 것을 볼 수 있는데, 이는 탄화수소 결합체의 분해로 인해 발생된 표면 라디칼에 대기 중 산소분자가 재결합을 일으켜 다양한 에스테르기를 형성한 결과이다. 에스테르기 및 대기 중에 존재하는 수분성분과 결합한 카르복실기의 발생으로 표면이 강한 친수성을 나타내며 FRP 표면 절연특성의 저하를 발생시켰다.

또한, 치색현상이 일어나는 영역에서는 산소와의 불포화 이중결합이 발생한 카르보닐기(③번) 피크의 증가도 나타나지만, 자외선 처리된 에폭시계 복합재료에서는 ②번 피크의 증

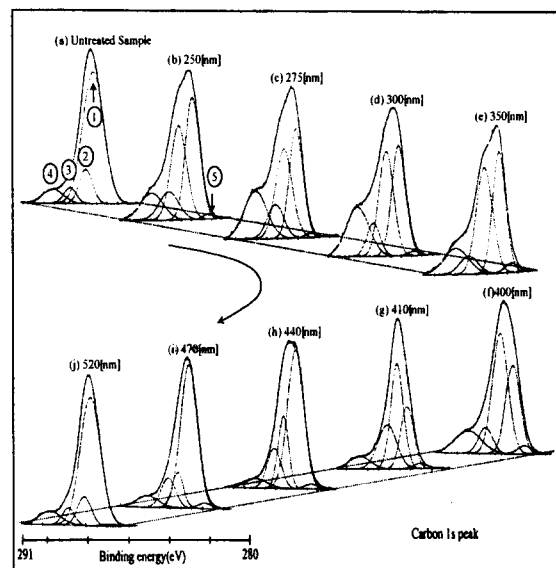


그림 9. 자외선 파장처리된 FRP의 C1s 피크 변화
Fig. 9 The change of C1s on the UV-treated FRP.

표 4. C1s의 결합상태에 대한 평가

Table. 4 Estimation of binding state of C1s.

peak	①	②	③	④	⑤
Estimated bindings	C-C C-H	C-O R-O-R'	C=O	-COO- -COOH	Carbide

가가 두드러짐을 볼 수 있다. ESCA spectrum 분석을 통한, 250[nm]에서 420[nm]까지의 넓은 범위에 걸친 에테르기(-CO)의 증가가 치색현상의 발생원으로 생각된다. 특히, -CO 피크가 상대적으로 급격히 증가한 390[nm]~410[nm] 대에서 치색현상이 심하게 나타났고 처리표면의 에테르기 증가가 표면 소수성 증가의 원인으로 생각되었다. 따라서, FRP 표면열화와 직접 관계되는 화학적 변화요인은 에폭시 표면 결합체의 분해로 인해 에스테르기 및 카르복실기가 형성된 것이 표면 젖음성 및 표면 절연성능의 저하에 가장 큰 영향을 미치는 것으로 생각된다. 또한 자외선 열화 시 발생

되었던 착색현상은 -CO기 발생에 의한 것으로 추정된다.

4. 결 론

FRP의 성능에 영향을 미치는 열화요인 중 자외선 파장에 따른 경시적 열화특성을 비교 분석하여 다음과 같은 결과를 얻었다.

① 자외선 파장 처리로 인한 접촉각 변화에서, 가장 급격한 변화를 보이는 영역은 300[nm] 부분으로 미 처리시료의 접촉각에 비해 조사에너지가 증가함에 따라 급격히 감소하여 처리#4에서는 13.8[°]까지 감소하였다. 400[nm]에서 440[nm] 영역에서는 오히려 소수성이 증가하는 경향을 보였고, 비활성 상태의 FRP 표면이 자외선 파장에 따른 변화가 상반적으로 발생한 것을 알 수 있었다.

② 처리에 따른 파장별 표면전위특성은 극성기가 유기되어 표면이 활성화된 정도에 비례하여 감쇠의 경향이 크게 나타났다. 특히, 자외선 처리를 통해 표면에 다량 유기된 극성기는 초기에 산소를 포함하는 친수적 부성 극성기였으나, 처리가 종료되고 장시간 대기중에 방치함에 따라 내부의 저에너지 성분과의 열역학적 반전이 발생하고 연속적인 과정을 통하여 표면에 새로운 극성기가 유도되고 반전된 산소가 내부로 침투하는 형태로 열화가 진행되는 것으로 생각된다.

③ 표면 저항률 조사에 있어서는 접촉각 측정의 결과와 동일한 경향을 보이며 300[nm] 부근에서는 표면 저항률이 급격히 감소하며 400[nm]에서 440[nm] 영역에서는 저항률이 오히려 미처리 시료보다 증가하는 상반된 결과를 나타내었다.

④ 최종적으로 표면 특성변화가 발생되는 궁극적인 원인인 화학구조 조사를 위한 ESCA 분석에서, FRP 표면열화에 영향을 미치는 성분은 결합쇄의 분해 및 산소분자와의 재결합을 통한 에스테르(-COO-) 및 카르복실기(-COOH) 형성이 주원인으로 생각된다. 또한, 착색현상에 영향을 미치는 주요인자는 에테르기(-CO) 형성의 결과로 생각된다.

이 논문은 1998년도 한국학술진흥재단의 학술 연구 조성비(국제협력공동연구과제)에 의하여 연구되었음.

참 고 문 현

- [1] 小松原實, 石井勝, “室外用高分子材料表面の評價法の検討”, 日本電氣學會論文A, 111券, 2号, pp. 97-102, 1991
- [2] M. Morita et al., “Status of FRP in Electric Industry”, 11th FRP Sympo., pp. 67-75, 1982
- [3] M. Morita et al., “Approach of FRP to Electric and Electronic Devices”, Reinforced Plastics, Vol. 32, pp. 496-498, 1986
- [4] 박강식 외 5인, “FRP 복합질연재료의 유전특성에 미치는 염수처리의 영향”, 전기전자재료학회논문지, 제10권, 1호, 1997

- [5] L.J. Bellamy, “Infra-red spectra of Complex Molecules”, Methuen, pp. 85, 1958
- [6] 이백수, 이덕출, “열처리된 유리섬유 강화 복합재료의 전기적 및 기계적 성질에 미치는 영향”, 전기전자재료학회논문지, 제11권, 3호, pp. 174-180, 1998
- [7] 高分子學會高分子實驗學編集委員會編, “熱力學的・電氣的性質,”共立出版株式會社, pp. 195-263, 1984
- [8] Fabio Garbassi, Marco Morra, Ernesto Occhiello, “POLYMER SURFACES from Physics to Technology”, John Wiley & Sons LTD, pp. 301-373, 1994
- [9] Souheng Wu, “Polymer Interface and Adhesion”, MARCEL DEKKER, INC., pp. 279-328, 1982
- [10] M.B. NEIMAN, “Aging and Stabilization of Polymers”, ИЗДАТЕЛЬСТВО<НАУКА>, pp. 225 - 238, 1964
- [11] Chi-Ming Chan, “Polymer Surface Modification and Characterization”, Hanser Publishers, pp. 1-30, 1994

저 자 소 개



이 백 수(李 白 洊)

1970년 2월 5일 생. 1997년 인하대 공대 전기공학과 졸업. 1997년 동 대학원 졸업(석사). 1997~현재 동 대학원 전기공학과 박사과정



이 덕 출(李 德 出)

1939년 1월 22일 생. 1963년 2월 인하대학교 전기공학과 졸업. 1966년 2월 동 대학원 전기공학과 졸업(석사). 1976년 9월 일본 나고야대학 전기공학과(공박). 1981~1982년 일본 나고야대학 전기공학과 방문교수. 1996년~1998년 인하대 공대 총장. 1998~현재 인하대학교 전기공학과 교수 및 대한전기학회 회장